

## بررسی نقش اکسید کننده $\text{Na}_2\text{S}_2\text{O}_8$ بر بهبد راندمان فرایند فتوکاتالیستی نانو ذرات $\text{TiO}_2$ DB71 ثبیت شده بر بستر بتنی در حذف رنگزا

معصومه پنبه کاربیشه<sup>۱</sup>، بیتا آیتی<sup>۲</sup>

دریافت: ۹۲/۰۳/۰۱ پذیرش: ۹۲/۰۵/۳۰

### چکیده:

زمینه و هدف: اکثر رنگزاهای مصرفی صنایع نساجی با منشأ آلی می‌توانند سمی و سرطانزا باشند. یکی از روش‌های مناسب جهت حذف آنها استفاده از فرایند اکسیداسیون پیشرفته است. هدف اصلی از انجام این تحقیق، بررسی تاثیر مثبت افزودن اکسیدکننده  $\text{Na}_2\text{S}_2\text{O}_8$  بر فرایند فتوکاتالیستی با استفاده از نانو ذرات  $\text{TiO}_2$  ثبیت شده بر بستر بتن به کمک اشعه UV جهت حذف رنگزای آبی مستقیم ۷۱ بوده است.

روش بررسی: بستر بتنی بوسیله  $40 \text{ g/m}^2$  نانو ذرات  $\text{TiO}_2$  به روش SSP پوشش داده شد. پس از انتخاب غلظت بهینه اکسیدکننده و تعیین مقادیر بهینه پارامترهای pH، شدت تابش UV و زمان، راندمان و نرخ حذف رنگزا و میزان شکسته شدن حلقه‌های بتزنی و تغییرات COD در دو سیستم  $\text{UV/TiO}_2/\text{Na}_2\text{S}_2\text{O}_8$  و  $\text{UV/TiO}_2/\text{Na}_2\text{S}_2\text{O}_8$  مورد بررسی قرار گرفت.

یافته‌ها: در شرایط غلظت اولیه رنگزا  $100 \text{ ppm}$ ، pH  $9$ ، لامپ W  $90$  در مدت زمان  $55 \text{ min}$  برای سیستم  $\text{UV/TiO}_2$ ، راندمان حذف برابر با  $50/48$  درصد و در شرایط غلظت اولیه رنگزا  $200 \text{ ppm}$ ، pH  $24/9$  و مقدار  $0/24 \text{ g/L}$  طبیعی اکسیدکننده و حفظ دیگر شرایط در سیستم  $\text{UV/TiO}_2/\text{Na}_2\text{S}_2\text{O}_8$  راندمان حذف برابر با  $88/65$  بود.

نتیجه‌گیری: افزودن اکسیدکننده موجب افزایش راندمان حذف رنگزا و کاهش زمان حذف کامل آن می‌شود که حاکمی از تاثیر مثبت افزودن اکسیدکننده بر فرایند فتوکاتالیستی در حذف رنگزا است.

واژگان کلیدی: شدت تابش،  $\text{TiO}_2$ ، رنگزا آبی مستقیم ۷۱، COD، pH

۱- دانشجوی کارشناسی ارشد، دانشکده مهندسی عمران و محیط زیست، دانشگاه تربیت مدرس

ayati.bi@modares.ac.ir

۲- نویسنده مسئول: دکترای مهندسی عمران (محیط زیست)، دانشیار دانشکده مهندسی عمران و محیط زیست،

دانشگاه تربیت مدرس

## مقدمه

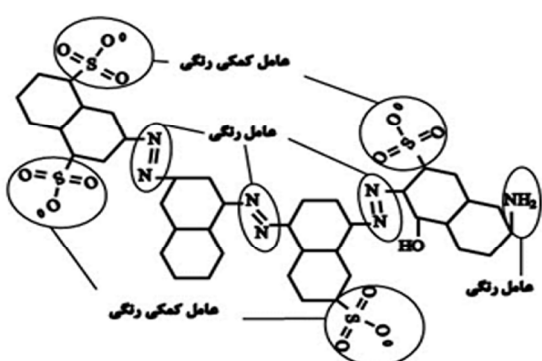
$\text{UV/TiO}_2$  و در حضور  $\text{H}_2\text{O}_2$  و  $\text{Na}_2\text{S}_2\text{O}_8$  مورد بررسی قرار دادند. طبق نتایج حاصل کاربرد اکسید کننده، قابلیت رنگزدایی را افزایش داد.

از آنجا که زمان نقش بسزائی در اقتصادی شدن هر طرحی دارد، هدف از این تحقیق، بررسی تاثیر مثبت اکسید کننده سدیم پراکسی دی سولفات بر فرایند فتوکاتالیستی  $\text{UV/TiO}_2$  و حذف  $\text{UV/TiO}_2$  و سریعتر رنگزا بود. به همین منظور دو سیستم  $\text{UV/TiO}_2/\text{Na}_2\text{S}_2\text{O}_8$  و  $\text{UV/TiO}_2/\text{Na}_2\text{S}_2\text{O}_8/\text{pH}$  به طور مجزا در حذف رنگزا آبی مستقیم ۷۱ مورد بررسی قرار گرفت و برای هر یک شرایط بهینه شامل pH، غلظت رنگزا، شدت تابش UV و زمان تعیین شد.

## مواد و روش‌ها

در این تحقیق از رنگزا آبی مستقیم ۷۱ با فرمول  $\text{C}_{42}\text{H}_{32}\text{N}_4\text{Na}_4\text{O}_{13}\text{S}_4$  (شکل ۱) و وزن مولکولی ۱۰۲۹/۸۷ g/mol بسته (۱) است. حلقه آروماتیک و ۳ پیوند رنگزا  $\text{N}=\text{N}$  که از لحاظ ساختار شیمیایی جزء گروه تری آزو قرار می‌گیرد، استفاده شد. پایلوت پلاستیکی به ابعاد  $22 \times 15 \text{ cm}$   $\text{UV-C}$  در هر دو سیستم  $\text{UV/TiO}_2$  و  $\text{UV/TiO}_2/\text{Na}_2\text{S}_2\text{O}_8$  مورد بررسی قرار گرفت. همچنین به منظور بازتابش کامل اشعه  $\text{UV-C}$  و نیز رعایت ایمنی دور تا دور راکتور توسط فویل ضخیم پوشانده شد.

به منظور اندازه گیری غلظت رنگزا از مشخصات جذبی آن در ناحیه  $\text{UV-VIS}$  استفاده شد. بدین منظور ابتدا طیف جذبی



شکل ۱: ساختار شیمیایی رنگزا

مواد رنگزا در بسیاری از صنایع همچون کاغذ، پلاستیک، مواد غذایی، مواد آرایشی، نساجی و رنگرزی مورد استفاده قرار می‌گیرند. در این میان صنایع رنگرزی و نساجی از بزرگ‌ترین مصرف کنندگان آب و تولید کنندگان فاضلاب به شمار می‌روند. با توجه به اثرات سوء تخلیه پساب‌های رنگی بر محیط‌زیست، تصفیه این گونه فاضلاب‌ها اجتناب ناپذیر است که توسط روش‌های مختلف فیزیکی، شیمیایی، بیولوژیکی و یا تلفیقی از آنها انجام می‌گیرد (۱). به دلیل قابلیت تجزیه بیولوژیکی کم رنگزاهای مصنوعی، سیستم‌های متداول تصفیه بیولوژیک دارای کارایی مناسبی در حذف رنگ نیستند. روش‌های فیزیکی نیز تنها باعث انتقال آلاینده از یک فاز به فاز دیگر می‌شوند، به همین دلیل معمولاً از روش‌های شیمیایی جهت حذف قابل قبول رنگ از فاضلاب استفاده می‌شود (۲). یکی از این روش‌ها، فرایندهای اکسیداسیون پیشرفته است که با استفاده از یک ماده اکسید کننده قوی و یک کاتالیست مانند دی اکسید تیتانیوم در حضور یا عدم حضور منبع تابش اشعه ماوراء بنفش با تولید رادیکال‌های آزاد هیدروکسیل ( $\bullet\text{OH}$ )، بیشترین کارایی را در اکسیداسیون ترکیبات آلی مقاوم دارد (۳). دی اکسید تیتانیوم ( $\text{TiO}_2$ ) به دلیل دارا بودن خصوصیات منحصر به فرد مانند فعالیت فتوشیمیایی، قیمت سنتز به نسبت پائین، خصوصیات ساختاری ویژه، قدرت جذب نور مانعرا بنفش و اکسیداسیون بالا، پایداری شیمیایی و فیزیکی تحت شرایط واکنش، شفافیت لایه نازک و غیر سمو بودن، کاربردهای متنوعی در رنگ دانه‌ها، نگهدارنده‌ها، کاتالیزورها، سرامیک‌ها و غشاهای معدنی دارد و بعنوان فتوکاتالیزور در زمینه محیط زیست بسیار مورد استفاده قرار گرفته است که از جمله آنها اکسیداسیون آلاینده‌های آلی و تبدیل آنها به دی اکسید کربن و آب است (۴). سدیم پراکسی دی سولفات ( $\text{Na}_2\text{S}_2\text{O}_8$ ) نیز یک اکسیدکننده قوی است که کاربردهای زیست محیطی زیادی دارد (۵).

تحقیقات زیادی در زمینه کاربرد اکسید کننده‌ها صورت گرفته است. بعنوان نمونه Belgin و همکاران (۲۰۰۹)، رنگزدایی  $\text{RB4}$  را در سیستم  $\text{UV/TiO}_2$  و در حضور اکسیدکننده  $\text{KIO}_4$  و  $\text{Chung}$  (۲۰۰۸)، رنگزدایی  $\text{RR198}$  را در سیستم

UV/TiO<sub>2</sub>/Na<sub>2</sub>S<sub>2</sub>O<sub>8</sub> و UV/TiO<sub>2</sub> تعیین و راندمان حذف مورد بررسی قرار گرفت.

رنگزای آبی مستقیم ۷۱ (DB71) محصول شرکت الوان ثابت، TiO<sub>2</sub> (P25) با قطر تقریبی nm ۵۰ (حاوی ۸۰٪ فاز آناناتاز و ۲۰٪ فاز روتاپل) محصول شرکت Degusa، اکسید کنتنده Na<sub>2</sub>S<sub>2</sub>O<sub>8</sub> محصول شرکت Merck، چسب بتن، K<sub>2</sub>Cr<sub>2</sub>O<sub>7</sub>، سوپر محصول شرکت شیمی بتن بهینه تهیه شد. HgSO<sub>4</sub>, Ag<sub>2</sub>SO<sub>4</sub>, H<sub>2</sub>SO<sub>4</sub> و pH جهت تهیه محلول های هضم و کاتالیست و NaOH جهت تنظیم pH محصول شرکت Merck و همچنین آب مقطر دوبار تقطیر جهت رقیق سازی و تهیه محلول ها مورد استفاده قرار گرفت.

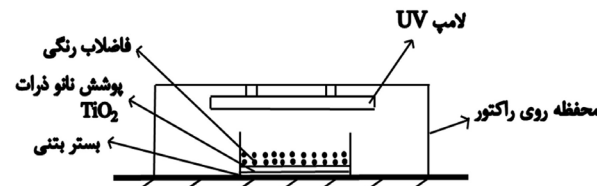
اسپکتروفوتومتر مدل Carry50 ساخت Varian جهت تعیین میزان جذب، اولتراسونیک کلینر مدل UE-pH ۶SFD جهت دیسپرس کردن نانو ذرات اگلومره شده، pH متر دیجیتالی مدل ۶۹۱ ساخت Metrohm جهت تعیین محلول، ترازوی دیجیتالی مدل ۳-PLS360 ساخت شرکت CE145 Kern با دقیقه ۰/۰۰۱ g، سانتریفوژ ۱۲ شاخه مدل ۱۴۵ ساخت شرکت شیمی فن جهت تهیه نشین کردن نانو ذرات معلق، لامپ های جیوه ای کم فشار W ۳۰ به تعداد لازم جهت تامین شدت تابش های مورد نظر (۳۰، ۹۰ و W ۱۵۰ و W ۲۱۰) ساخت شرکت Philips بعنوان منبع UV-C و همزن مغناطیسی مدل RH-B2 ساخت شرکت Ika تجهیزات اصلی مورد استفاده در تحقیق بودند.

نکته قابل ذکر اینکه اندازه گیری COD براساس دستورالعمل ۵۲۲۰ D ارائه شده در کتاب روش های استاندارد آزمایشات آب و فاضلاب صورت گرفت (۸). در این تحقیق آزمایشات دردمای محیط آزمایشگاه C (۲۲) انجام گرفت و کلیه آزمایشات حداقل ۳ بار تکرار شدند.

محلول ۲۰ mg/L رنگزا در محدوده ۴۰۰-۹۰۰ nm به وسیله دستگاه اسپکتروفوتومتر رسم شد که در ناحیه مرئی (طول موج ۵۸۶ nm) بیشترین میزان را داشت. سپس برای تهیه منحنی کالیبراسیون رنگزا محلول هایی با غلظت های متفاوت تهیه و جذب آنها در طول موج ماکریم اندازه گیری شد. در طی تحقیق غلظت رنگزا و میزان حذف آن در مراحل مختلف به وسیله رابطه بدست آمده (Y=۰,۰۱۸X+۰,۰) محاسبه شد.

جهت ساخت بستر بتنی از ملات آب و سیمان با نسبت وزنی ۱ به ۲ به ضخامت ۰/۸ cm استفاده شد. برای اینکه بتن ساخته شده به راحتی از قالب جدا شود، قبل از ریختن ملات به داخل قالب، ظرف توسط روغن قالب آگشته و جهت آرام خشک شدن نمونه (یک تا چند روز)، در پوش قالب گذاشته شد. در شکل ۲ راکتور مورد استفاده به صورت شماتیک ارائه شده است.

به منظور ثبت نانو ذرات TiO<sub>2</sub> روی بستر بتنی با استفاده از نتایج تحقیق Ghodsian و Nayebi (۶ و ۷)، از g/m<sup>2</sup>



شکل ۲: راکتور مورد استفاده در تحقیق

۴۰ نانو ذرات به روش Separated Sealer & SSP (Photocatalyst) استفاده شد. به این ترتیب که پس از قرار دادن محلول در دستگاه اولتراسونیک به مدت ۳۰ min (جهت خارج نمودن نانو ذرات از حالت اگلومره)، چسب بتن توسط TiO<sub>2</sub> بررس تمیز بر روی بستر بتنی مالیله شده و سپس محلول pH به آرامی روی آن ریخته شد تا طی مدت ۲ الی ۳ روز همزمان با خشک شدن چسب بتن، محلول TiO<sub>2</sub> نیز به آرامی خشک و بر روی بستر ثبت شود.

پس از تعیین غلظت بهینه اکسید کنتنده، شرایط بهینه شامل pH، غلظت اولیه رنگزا، شدت تابش و زمان در دو سیستم

با توجه به اینکه با افزودن بیش از حد اکسید کننده، زمان حذف به شدت کاهش می یافتد و به دلیل تطبیق دهی دیگر پارامترها و  $\text{Na}_2\text{S}_2\text{O}_8$  g/L ۰/۲۴ مقدار،  $\text{W} = ۱۰۰$  ppm غلظت اکسید کننده انتخاب شد.

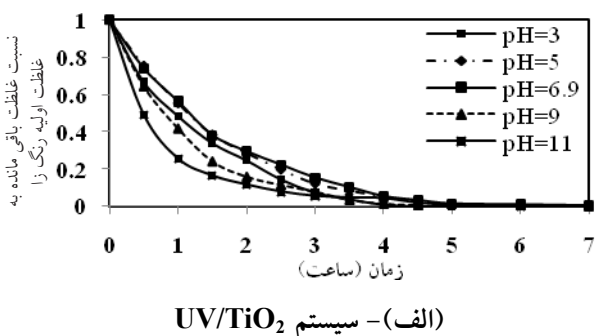
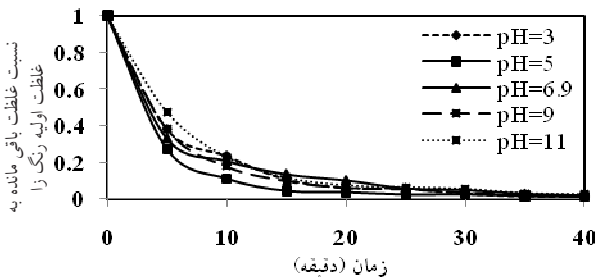
#### تعیین pH بهینه

pH اولیه محلول یکی از پارامترهای موثر در واکنش های فتوکاتالیستی به حساب می آید. همان طور که در نمودار ۲-الف مشاهده می شود، راندمان حذف رنگزا در سیستم UV/TiO<sub>2</sub> پس از ۲ h در pH های ۳، ۵، ۶/۹، ۹ و ۱۱ (طبیعی)، ۷۰/۶۵، ۷۱/۵۸، ۷۵/۴ و ۸۸/۴۹ است. ۱۱ به ترتیب ۱۱، ۷۵/۴، ۷۰/۶۵، ۷۱/۵۸ و ۷۵/۶ است. دلیل حذف بیشتر رنگزا در محیط قلیایی تشکیل ساده تر و بیشتر رادیکال هیدروکسیل در این محدوده است (۱۴). با اندازه گیری pH پس از انجام واکنش مشاهده شد که در طی واکنش به دلیل تولید محصولات میانی، pH تغییر کرده و در اکثر pH های اولیه اعم از اسیدی و بازی با گذشت

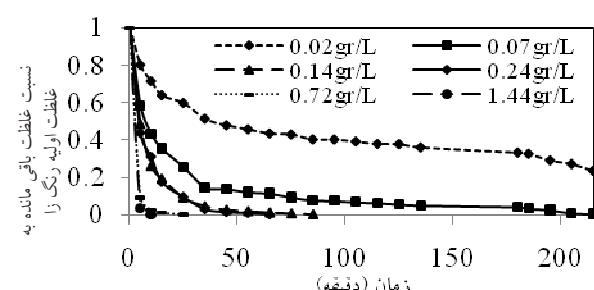
#### یافته ها و بحث

##### تعیین غلظت بهینه اکسید کننده

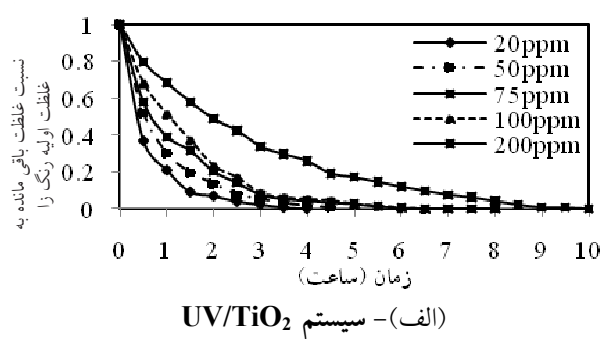
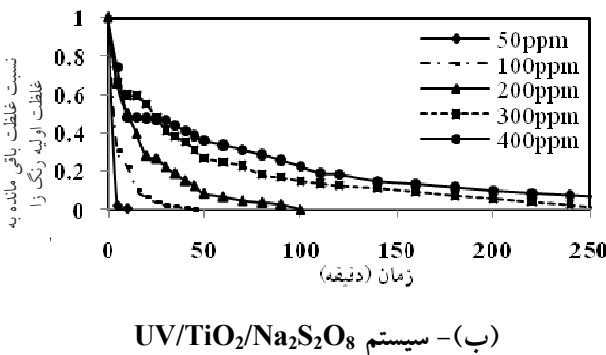
به منظور بررسی اثر افزودن اکسید کننده  $\text{Na}_2\text{S}_2\text{O}_8$  غلظت های مختلف اکسید کننده به ppm ۱۰۰ رنگزا تحت لامپ W<sub>۹۰</sub> و pH طبیعی اضافه شد. طبق نتایج حاصل (نمودار ۱)، با افزایش مقدار اکسید کننده در سیستم UV/ $\text{Na}_2\text{S}_2\text{O}_8$ ، روند حذف رنگزا افزایش می یابد. تحقیقات Ivanov Ming و همکاران نیز نتایج مشابهی را گزارش کرده اند (۹ و ۱۰). مطابق معادله ۱، یون های پرسولفات در مجاورت نور UV-C به رادیکال های آزاد پرسولفات تبدیل می شوند (۱۱). رادیکال های آزاد پرسولفات ( $\text{SO}_4^{\cdot -}$ ) در مجاورت آب رادیکال های آزاد هیدروکسیل ( $\text{OH}^{\cdot}$ ) تولید می کنند (معادله ۲)، (۱۲) که طبق این معادلات با اضافه شدن یون  $\text{SO}_4^{\cdot -}$ ، رادیکال های سولفات و هیدروکسیل اضافه شده و راندمان حذف افزایش می یابد (معادله ۳) (۱۳).

(الف)- سیستم UV/TiO<sub>2</sub>(ب)- سیستم UV/TiO<sub>2</sub>/Na<sub>2</sub>S<sub>2</sub>O<sub>8</sub>

نمودار ۲- میزان حذف رنگزا در pH های مختلف (غلظت رنگزا  $100 \text{ ppm}$ ، شدت لامپ  $W = ۹۰$ ، غلظت اکسید کننده  $(\text{TiO}_2 = ۴۰ \text{ g/m}^2$  و  $0/۲۴ \text{ g/L}$ )



نمودار ۱: بررسی میزان دز اکسید کننده  $\text{Na}_2\text{S}_2\text{O}_8$  بر روی رنگزا (غلظت رنگزا  $100 \text{ ppm}$ ، لامپ  $W = ۹۰$  و pH طبیعی)

(الف)- سیستم UV/TiO<sub>2</sub>(ب)- سیستم UV/TiO<sub>2</sub>/Na<sub>2</sub>S<sub>2</sub>O<sub>8</sub>

نمودار ۳: میزان حذف رنگ‌زا در غلظت‌های اولیه مختلف ( $TiO_2 = 40 \text{ g/m}^3$ ,  $pH = 9.0 \text{ W}$ ,  $Na_2S_2O_8 = 0.24 \text{ g/L}$ )

Shimizu و همکاران، Muruganandham و همکاران نیز گزارش شده است (۶، ۷، ۱۶، ۱۷) (Jonedi). همچنین در مدت زمان ۱۵ min برای غلظت‌های اولیه ۱۸ (۱۸)، ۵۰ ppm، ۱۰۰، ۲۰۰، ۳۰۰ و ۴۰۰ رنگ‌زا به ترتیب ۱۰۰، ۵۰، ۱۰۰، ۲۰۰، ۳۰۰ و ۴۰۰ راندمان حذف مشاهده شد. دلیل کاهش رنگ‌زدایی با افزایش غلظت رنگ‌زا به سه دلیل UV بر عمد است. اول اینکه با افزایش غلظت رنگ‌زا اثر نور UV این فرایند کاسته شده و نانو ذرات  $TiO_2$  برای تولید رادیکال آزاد کمتر فعال می‌شوند (۱۵). دوم اینکه با افزایش غلظت رنگ‌زا مولکول‌های رنگی جذب نانو ذرات شده و حفره‌های فعال فتوکاتالیستی را اشغال می‌کنند که منجر به کاهش تولید رادیکال آزاد می‌شود (۱۲). سوم اینکه با افزایش غلظت رنگ‌زا مولکول‌های رنگ‌زا با رادیکال‌های هیدروکسیل روى نقاط فعال نانو ذرات  $TiO_2$  واکنش می‌دهد. در این حالت رادیکال هیدروکسیل جذب مولکول رنگ‌زا شده و راندمان حذف کاهش می‌یابد (۱). همچنین ملاحظه می‌شود که شبیه

زمان pH محلول کاهش می‌یابد. بطوری‌که pHهای اولیه ۳، ۵، ۶/۹ و ۱۱ پس از ۲ h به ترتیب ۳/۲، ۴/۳، ۶/۵ و ۸/۹ رسانید. با توجه به هزینه NaOH مصرفی pH معادل ۹ به عنوان مقدار بهینه در سیستم UV/TiO<sub>2</sub> انتخاب شد و در ادامه تحقیق مورد استفاده قرار گرفت.

حضور یون پرسولفات ( $S_2O_8^{2-}$ ) در سیستم UV/TiO<sub>2</sub> به عنوان کمک‌کننده در نقش رنگ‌زدایی بسیار موثر است. تسريع رنگ‌زدایی به پارامتر pH وابسته است و تحت شرایط اسیدی یون‌های پرسولفات به رادیکال‌های آزاد پرسولفات تبدیل می‌شوند. در شرایط قلیایی رادیکال‌های آزاد پرسولفات رادیکال‌های هیدروکسیل تولید می‌کنند (معادلات ۴ تا ۶).



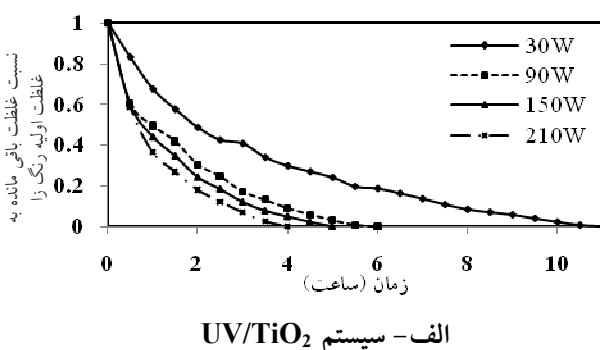
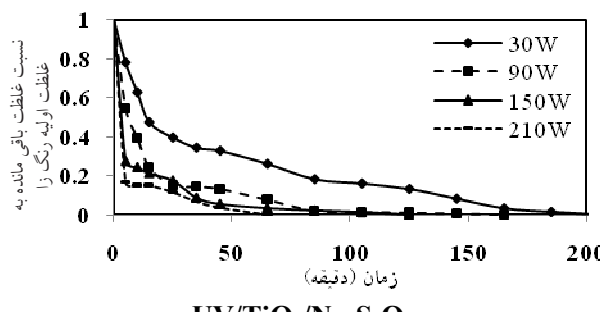
بنابراین در شرایط اسیدی رادیکال‌های آزاد پرسولفات و در شرایط بازی رادیکال‌های هیدروکسیل غالب هستند (۱۵). با توجه به نمودار ۲- ب بعد از مدت زمان ۱۰ min برای pH معادل ۳، ۵، ۶/۹ و ۱۱ به ترتیب ۸۶/۴۵، ۸۹/۵۴، ۸۶/۴۵ و ۸۸/۵۶ درصد راندمان حذف در سیستم UV/TiO<sub>2</sub>  $Na_2S_2O_8$  بدست آمد که بدلیل ناچیز بودن اختلاف راندمان حذف در pHهای مختلف، pH طبیعی (۶/۹) عنوان میزان بهینه انتخاب شد.

### تعیین غلظت بهینه رنگ‌زا

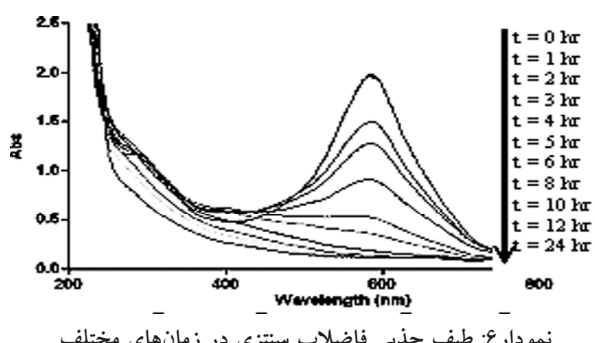
همان‌طور که در نمودارهای ۳ مشاهده می‌شود با افزایش غلظت اولیه رنگ‌زا در pH بهینه بدست آمده، میزان حذف آن کاهش می‌یابد بطوری‌که در سیستم UV/TiO<sub>2</sub>، غلظت‌های اولیه ۲ h به ترتیب ۲۰۰، ۱۰۰، ۷۵، ۵۰ و ۲۰ ppm رنگ‌زا پس از ۵۱ و ۷۶، ۸۰، ۸۶، ۹۳ درصد حذف مشاهده می‌شود. نتایج مشابهی توسط Ghodsian و Nayebi

### تعیین شدت تابش بهینه

همان‌طور که در نمودارهای ۵ مشاهده می‌شود، با افزایش توان لامپ و در نتیجه افزایش شدت لامپ و تعداد فوتون‌های ساطع شده، راندمان تقریباً ثابت مانده و تغییری مشاهده نمی‌شود. چرا که این شدت تابش معادل حداقل انرژی مورد نیاز برای برانگیخته شدن  $\text{TiO}_2$  تشییت شده بر روی بستر بتنی است. بطوری که در مدت زمان  $25 \text{ min}$  با توان‌های  $W$   $30, 90, 150$  و  $210$  در سیستم  $\text{UV/TiO}_2$   $40/01, 39/38, 16/86$  و  $41/19$  درصد و در سیستم  $\text{UV/TiO}_2/\text{Na}_7\text{S}_2\text{O}_8$

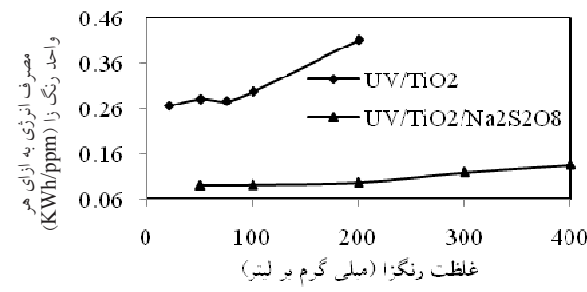
الف - سیستم  $\text{UV/TiO}_2$ ب - سیستم  $\text{UV/TiO}_2/\text{Na}_7\text{S}_2\text{O}_8$ 

نمودار ۵: میزان حذف رنگزا در شدت‌های تابش مختلف  $\text{Na}_7\text{S}_2\text{O}_8/100 \text{ ppm}$ ,  $\text{pH} 9$  و  $24 \text{ g/L}$  معادل  $40 \text{ mg/m}^2 \cdot \text{TiO}_2$  و غلظت اولیه رنگزا  $100 \text{ ppm}$ .



نمودار ۶: طیف جذبی فاضلاب ستزی در زمان‌های مختلف

نمودار در ابتدا زیاد است که پس از مدتی کاهش می‌یابد. چرا که با تولید محصولات میانی، برخی واکنش‌های فتوکاتالیستی جهت شکستن و حذف آنها انجام شده، بنابراین نرخ حذف رنگزا کاهش پیدا می‌کند. با گذشت زمان، محصولات ساده نیز



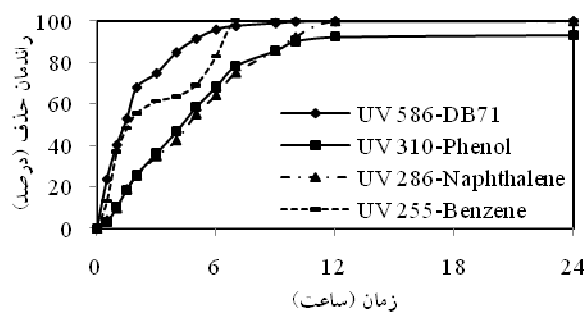
نمودار ۷: نمودار مصرف انرژی

شکسته شده و ترکیبات سخت تجزیه‌پذیر باقی می‌مانند، لذا نرخ حذف رنگزا در انتهای آزمایشات به میزان زیادی کاهش می‌یابد (۱۹). بنابراین با توجه به انرژی مصرفی (نمودار ۷) غلظت  $100 \text{ ppm}$  به عنوان غلظت بهینه در سیستم  $\text{UV/TiO}_2/\text{Na}_7\text{S}_2\text{O}_8$  در سیستم  $\text{UV/TiO}_2$   $200 \text{ ppm}$  انتخاب شد و در ادامه تحقیق مورد استفاده قرار گرفت.

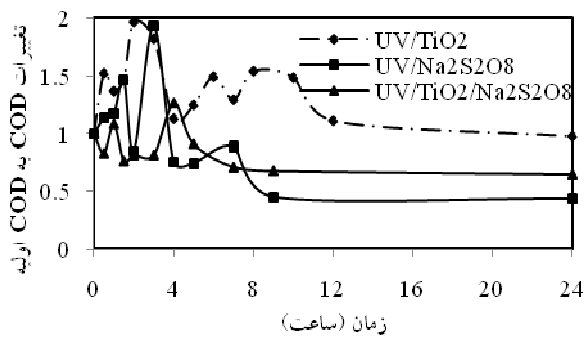
به منظور محاسبه میزان مصرف انرژی از معادله ۷ استفاده شد.

$$\frac{\text{Energy Consumption}}{C} = \frac{W \cdot t}{(C_{in} - C_{out})} \quad (V)$$

در معادله  $C$  این  $\text{Energy Consumption}/C$  انرژی مصرف شده برای حذف هر  $1 \text{ ppm}$  آلینده برحسب  $W$ ,  $\text{KWh/ppm}$  برق  $t$ ,  $\text{h}$  مدت زمان تابش بر حسب  $C_{in}$  غلظت اولیه و  $C_{out}$  غلظت پس از واکنش برحسب  $\text{mg/L}$  است.



نمودار ۷: میزان شکسته شدن حلقوه های بنزنی



نمودار ۸: میزان تغییرات COD/COD سیستم های مختلف

ثابت می‌ماند. به دلیل وجود چهار گروه دو تایی حلقوه های آروماتیکی موجود در ساختار رنگزا مدت زمان زیادی (بیشتر از یک هفته) لازم است تا تمامی حلقوه ها شکسته شده و مقدار COD به صفر برسد.

#### نتایج فاضلاب واقعی

به منظور بررسی کارایی سیستم‌ها، فاضلاب واقعی از یکی از کارخانجات نساجی فعال کشورتپه و میزان راندمان حذف بررسی شد. فاضلاب واقعی دارای pH معادل ۵/۶<sup>۳</sup> و COD اوایله ۲۵۰۰ mg/L بود که نتایج حاصل در نمودار ۹ ارائه شده است. همانطور که مشاهده می‌شود سیستم UV/TiO<sub>2</sub> راندمان حذف بالاتری دارد. به دلیل وجود ترکیبات پیچیده در فاضلاب واقعی، اثر غلظت اکسید کننده کمتر شده و رادیکال‌های آزاد هیدروکسیل وارد عمل می‌شوند و راندمان حذف افزایش می‌یابد. می‌توان نتیجه گرفت که با افزودن میزان اکسید کننده‌ها اثر نانو ذرات TiO<sub>2</sub> کمتر شده و رادیکال‌های آزاد اکسید کننده‌ها عامل اصلی حذف رنگزا هستند.

حدف مشاهده شد. لذا توان W ۹۰ به عنوان منبع بهینه انرژی در تمامی سیستم‌ها انتخاب شد.

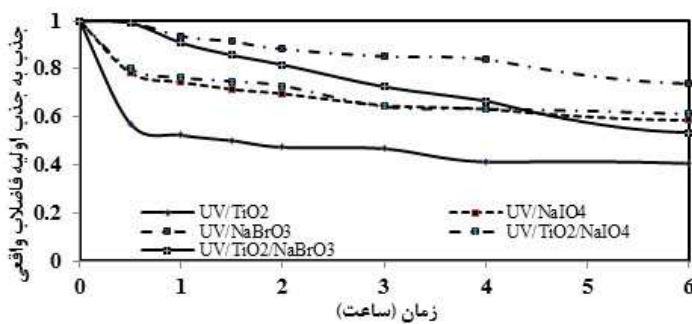
#### تعیین زمان بهینه

نمودار ۶ طیف جذبی فاضلاب سنتزی را در زمان‌های مختلف نشان می‌دهد. همانطور که ملاحظه می‌شود، با گذشت زمان سطح زیر نمودار طیف جذبی کاهش یافته که بیانگر کاهش غلظت رنگزا است.

در سیستم‌های UV/TiO<sub>2</sub> و UV/TiO<sub>2</sub>/Na<sub>2</sub>S<sub>2</sub>O<sub>8</sub> پس از مدت زمان ۵۵ min، راندمان حذف در دو سیستم به ترتیب ۴۰/۸ و ۸۸/۶۵ درصد است و نرخ کاهش غلظت به ترتیب پس از گذشت ۶ h و ۴۰/۸ بسیار کم شده که به عنوان مدت زمان بهینه انتخاب گردید. در این زمان، غلظت رنگزا خروجی به کمتر از استاندارد نشر به محیط زیست که معادل ۷۵ ppm نمک پلاتین کبالغ است، رسیده است.

#### بررسی شکستن حلقوه های بنزنی و تغییرات COD

با توجه به اینکه رنگزایی ماده رنگزا به معنی تجزیه کامل آلینده نیست و در این حالت تنها پیوندهای عامل رنگرا شکسته شده‌اند، در نتیجه احتمال خطر زیستمحیطی آن وجود دارد لذا پس از تعیین مقدار پارامترها، جهت بررسی دقیق‌تر، میزان جذب در طول موج‌های ۲۸۶، ۳۱۰ nm و ۵۸۶ nm که به ترتیب شاخص رنگزای DB71، فنل، نفتالین و بنزن است (۲۰)، تعیین شد. همان‌طور که در نمودارهای ۷ و ۸ مشاهده می‌شود راندمان حذف رنگزا، فنل، نفتالین، بنزن UV/TiO<sub>2</sub> در مدت زمان ۲ h در سیستم COD/COD به ترتیب ۶۸/۰۱، ۲۵/۴۸، ۲۵/۹۸ و ۱/۸۲ درصد و در سیستم UV/TiO<sub>2</sub>/Na<sub>2</sub>S<sub>2</sub>O<sub>8</sub> ۹۵/۲۶، ۱۷/۹۲، ۲۴/۷۲، ۹۲/۶۸ و ۰/۸۱ درصد، مشاهده شد. با توجه به اینکه مواد اکسید کننده مورد استفاده در آزمایش COD نمی‌توانند ترکیبات سخت تجزیه پذیر را بشکنند، مقدار COD واقعی نبوده و عدد کمتری را نشان می‌دهد. با گذشت زمان و شکسته شدن ترکیبات حلقوی ابتدا مقدار COD افزایش و بعد از مدتی کاهش و ثابت می‌ماند حتی بعد از گذشت چند روز همچنان



\* جذبی که توسط اسپکتروفوتومتری در طول موج مشخص و یکسان خوانده شده است.

نمودار ۹: میزان حذف فاضلاب واقعی در سیستم‌های مختلف

### نتیجه‌گیری

این مقاله حاصل پایان‌نامه با عنوان «مقایسه اثر اکسیدکننده‌ها بر فرایند فتوکاتالیستی UV/TiO<sub>2</sub> در حذف رنگزا» در مقطع کارشناسی ارشد در سال ۱۳۹۱ است که با حمایت دانشگاه تربیت مدرس اجرا شده است. احتراماً بدین وسیله از مساعدت‌ها و حمایت‌های معاونت محترم پژوهشی و فناوری دانشگاه و ستاد فناوری نانو تشکر و قدردانی می‌شود.

با مقایسه نتایج می‌توان دریافت که سیستم UV/TiO<sub>2</sub>/Na<sub>2</sub>S<sub>2</sub>O<sub>8</sub> قابلیت رنگزدایی بالاتری نسبت به سیستم UV/TiO<sub>2</sub> دارد (جدول ۱) که بیانگر تاثیر مثبت رادیکال‌های آزاد هیدروکسیل و فعال اکسید کننده با هم بر حذف رنگزا است.

جدول ۱: مقایسه دو سیستم مورد بررسی در شرایط بهینه

آنواع سیستم‌ها	pH	غذلظت اولیه (ppm)	UV	رائدمان حذف (%)
UV/TiO <sub>2</sub> *	۹	۱۰۰	۹۰	۵۰/۴۸
UV/TiO <sub>2</sub> /Na <sub>2</sub> S <sub>2</sub> O <sub>8</sub> *	۶/۹	۲۰۰	۹۰	۸۸/۶۵

\* مدت زمان تابش: ۵۵ min

منابع

1. Kobra M, Can OT, Bayramoglu M. Treatment of textile wastewaters by electrocoagulation using iron and aluminum electrodes. *Journal of Hazardous Materials*. 2003;100(1):163-78.
2. Zille A. Laccase reactions for textile applications [dissertation]. Braga, Portugal: University of Minho; 2005.
3. Parra Cardona SP. Coupling of photocatalytic and biological processes as a contribution to the detoxification of water - catalytic and technological aspects [dissertation]. EPFL; 2001.
4. He Z, Lin L, Song S, Xia M, Xu L, Ying H, et al. Mineralization of CI Reactive Blue 19 by ozonation combined with sonolysis: Performance optimization and degradation mechanism. *Separation and Purification Technology*. 2008;62(2):376-81.
5. Adewuyi YG, Sakyi NY. Removal of nitric oxide by aqueous sodium persulfate simultaneously activated by temperature and  $\text{Fe}^{2+}$  in a lab-scale bubble reactor. *Industrial & Engineering Chemistry Research*. 2013;52(41):14687-97.
6. Nayeby Gavgani R. Removal of acid dyes by  $\text{TiO}_2$  nanoparticles combination of process stabilized on the concrete substrate and biological processes [dissertation]. Tehran: Tarbiat Modares University; 2012 (in Persian).
7. Ghodsian M. Removal of dye by  $\text{TiO}_2$  nanoparticles stabilized by on concrete substrate to UV [dissertation]. Tehran: Tarbiat Modares University; 2011 (in Persian).
8. APHA, AWWA, WEF. Standard Methods for the Examination of Water and Wastewater. 21st ed. Washington DC: American Public Health Association; 2005.
9. Wu M-C, Wu C-H. Decolorization of CI reactive red 198 in UV/oxidant and UV/ $\text{TiO}_2$ /oxidant systems. *Reaction Kinetics, Mechanisms and Catalysis*. 2011;104(2):281-90.
10. Ivanov K, Glebov E, Plyusnin V, Ivanov YV, Grivin V, Bazhin N. Laser flash photolysis of sodium persulfate in aqueous solution with additions of dimethylformamide. *Journal of Photochemistry and Photobiology A: Chemistry*. 2000;133(1):99-104.
11. Peternel I, Grcic I, Koprivanac N. Degradation of reactive azo dye by UV/peroxodisulfate system: an experimental design approach. *Reaction Kinetics, Mechanisms and Catalysis*. 2010;100(1):33-44.
12. Konstantinou IK, Albanis TA.  $\text{TiO}_2$ -assisted photocatalytic degradation of azo dyes in aqueous solution: kinetic and mechanistic investigations: A review. *Applied Catalysis B: Environmental*. 2004;49(1):1-14.
13. Qamar M, Saquib M, Muneer M. Titanium dioxide mediated photocatalytic degradation of two selected azo dye derivatives, chrysoidine R and acid red 29 (chromotrope 2R), in aqueous suspensions. *Desalination*. 2005;186(1):255-71.
14. Zhu X, Yuan C, Bao Y, Yang J, Wu Y. Photocatalytic degradation of pesticide pyridaben on  $\text{TiO}_2$  particles. *Journal of Molecular Catalysis A: Chemical*. 2005;229(1):95-105.
15. Wu C-H. Effects of operational parameters on the decolorization of CI Reactive Red 198 in UV/ $\text{TiO}_2$ -based systems. *Dyes and Pigments*. 2008;77(1):31-38.
16. Muruganandham M, Swaminathan M. Photocatalytic decolourisation and degradation of Reactive Orange 4 by  $\text{TiO}_2$ -UV process. *Dyes and Pigments*. 2006;68:133-42.
17. Shimizu N, Ogino C, Dadjour MF, Murata T. Sonocatalytic degradation of methylene blue with  $\text{TiO}_2$  pellets in water. *Ultrasonics Sonochemistry*. 2007;14(2):184-90.
18. Dalvand A, Jonidi jafari A, Gholami M, Ameri A, Mahmoodi NM. Treatment of synthetic wastewater containing Reactive Red 198 by electrocoagulation process. *Iranian Journal of Health and Environment*. 2011;4(1):11-22 (in Persian).
19. Neppolian B, Choi H, Sakthivel S, Arabindoo B, Murugesan V. Solar light induced and  $\text{TiO}_2$  assisted degradation of textile dye reactive blue 4. *Chemosphere*. 2002;46(8):1173-81.
20. Damodar RA, You S-J. Performance of an integrated membrane photocatalytic reactor for the removal of Reactive Black 5. *Separation and Purification Technology*. 2010;71(1):44-49.

# The effect of $\text{Na}_2\text{S}_2\text{O}_8$ oxidant on improving the efficiency of photocatalytic process of nano- $\text{TiO}_2$ immobilized on concrete in DB71 removal

M. Panbehkar Bishe, B. Ayati\*

Civil& Environmental Engineering Faculty, Environmental Engineering Division  
Tarbiat Modares University, Tehran, Iran

22 May 2013                    21 Agust 2013

## ABSTRACT

**Background and Objective:** Most of the dyes used in the textile industries can be toxic and carcinogenic. One of the suitable technologies to remove them is advanced oxidation processes. The main purpose of this study was to investigate the positive effect of adding oxidant  $\text{Na}_2\text{S}_2\text{O}_8$  to the photocatalytic process using  $\text{TiO}_2$  nano-particles immobilized on concrete and UV radiation for removal of Direct Blue71 dye.

**Materials and Methods:** Concrete was covered by 40 g/m<sup>2</sup> of  $\text{TiO}_2$  nanoparticles using SSP method. After selecting suitable oxidant concentration and optimum pH, initial dye concentration, UV irradiation intensity, and time, the efficiency and rate of dye removal and breaking amounts of benzene rings and COD variation were investigated in two systems of UV/ $\text{TiO}_2$  and UV/ $\text{TiO}_2$ / $\text{Na}_2\text{S}_2\text{O}_8$ .

**Results:** In UV/ $\text{TiO}_2$  system, 50.48 percent dye removal was observed at initial dye concentration of 100 ppm, pH 9, and 90 Watt UV lamp after 55 minutes and for UV/ $\text{TiO}_2$ / $\text{Na}_2\text{S}_2\text{O}_8$  system, initial dye concentration of 200 ppm, pH 6.9, and 0.24 g/L oxidant under the same abovementioned conditions resulted in 88.65 percent dye removal.

**Conclusion:** Oxidant addition increased the dye removal efficiency and decreased total time for complete decolorization indicating the positive effect of oxidant on photocatalytic process in dye removal.

**Keywords:** Irradiation intensity,  $\text{TiO}_2$ , dye, direct blue 71, COD, pH

---

\*Corresponding Author:ayati.bi@modares.ac.ir  
Tel:---